К теории плавления тонкостенных порошковых проволок.
Борисов А.*); Найденов Р.*)

*) Injection Alloys Group

Предложен полуэмпирический метод расчета оптимальной скорости инжекции порошковой проволоки в сталеразливочный ковш пригодный для тонкостенных порошковых проволок с герметичными стальными оболочками. Для кальцийсодержащих наполнителей

расчеты по данному методу не вышли за рамки +/-15% отклонений от наблюдавшихся на ковшах большой емкости (до 350тн) скоростей, для которых у проволок Hi-Cal [1] зафиксированы максимумы в усвоения кальция (т.е. для их оптимальных значений). В рамках метода предложена простая аналитическая модель расчета кристаллизующегося вокруг оболочки устойчивого твердого

Контакты: Борисов А. е-мэйл: basifto@mail.ru; +79168002718мт.

металлического образования расплава солитонного типа.

Введение.

В настоящее время промышленностью начали осваиваться новые виды порошковых проволок (пп) имеющих стальную, замкнутую (заверенную либо лазерной, либо ТВЧ-сваркой) оболочку различной толщины [1]. Причем наполнителями в таких оболочках могут являться: запрессованный порошковый кальций Са, кальциевый пруток из монолитного материала, смесь механическая Са и Fe, ферросплав SiCa и др. Наличие такого большого набора продуктов приводит к необходимости в случае конкретной пп (т.е. заданных толщины, диаметра и состава наполнителя), проводить работу по оптимизации режимов инжекции данных проволок в сталеплавильные агрегаты в рабочих условиях сталеплавильного производства, что не всегда возможно из-за большого количества внутренних технологических инструкций и загруженности. Сократить данную работу могло бы наличие расчетных программ, которые показали надежность расчетов по ним сравнением с уже выполненными и отработанными практическими режимами инжекции. Заметим ,что при оптимизации по скорости ввода пп в ковшевые агрегаты для такого сравнения требуется выполнить расчет динамической картины нагревания и плавления системы оболочка –наполнитель. Это является достаточно сложной задачей в 3-х измерениях и требует в общем случае решения уравнения теплопроводности совместно с уравнениями, описывающими фазовые превращения. Даже с учетом того факта ,что в порошковых проволоках , имеется осевая симметрия, такая задача требует применения специальных пакетов прикладных программ и значительных вычислительных мощностей, что практически всегда недоступно ни производителям пп, ни их потребителям. Как это будет показано в дальнейшем полуэмпирический метод обеспечивает вполне приемлемую инженерную (<15%) точность вычислений, если ряд расчетных параметров выбран из совпадения с экспериментами. При таком подходе уравнение теплопроводности удается заменить на систему небольшого числа дифференциальных уравнений первого порядка (аналогично тому как это делается в разностных методах), что дает возможность использовать для расчетов бухгалтерские, складские пакеты офисных программ в среде Windows такие как Microsoft Office Excel, которые имеются практически в каждой организации.

2. Расчетная модель. В качестве модели примем, что пп представляет из себя бесконечно длинную цилиндрическую оболочку с наполнителем круглого сечения. Пренебрежем тепловыми потоками, которые распространяются вдоль оси симметрии по сравнению с потоками тепла вдоль радиуса. Последнее условие достаточно очевидно, т.к. времена инжекции пп (2-5мин), как правило, значительно меньше времени передачи тепла через стальную оболочку на значительные по сравнению с размерами сталеплавильного агрегата расстояния (десятки мин). Характерная кривая распределенная температурного поля вдоль радиуса пп показана на рис 1 сплошной линией. Отметим наличие на ней участка, где после введения (причем быстрого) пп в расплав вокруг оболочки кристаллизуется "намороженный" слой металла, который по мере движения проволоки в ковш сначала растет в радиусе, а затем достигнув критического значения, начинает плавиться, плавится совсем и только после этого начинает плавиться оболочка. Заметим также, что диаметр пп всегда много меньше размера сталеплавильного ковша и это дает возможность сделать еще одно упрощение в расчётах . В частности мы можем разбить все температурное поле (непрерывная кривая на рис 1) на участки: наполнитель, оболочка, "намороженный" слой, где в силу малых размеров этих

участков по сравнению с диаметром ковша принять температуры постоянными и равными их средним значениям.

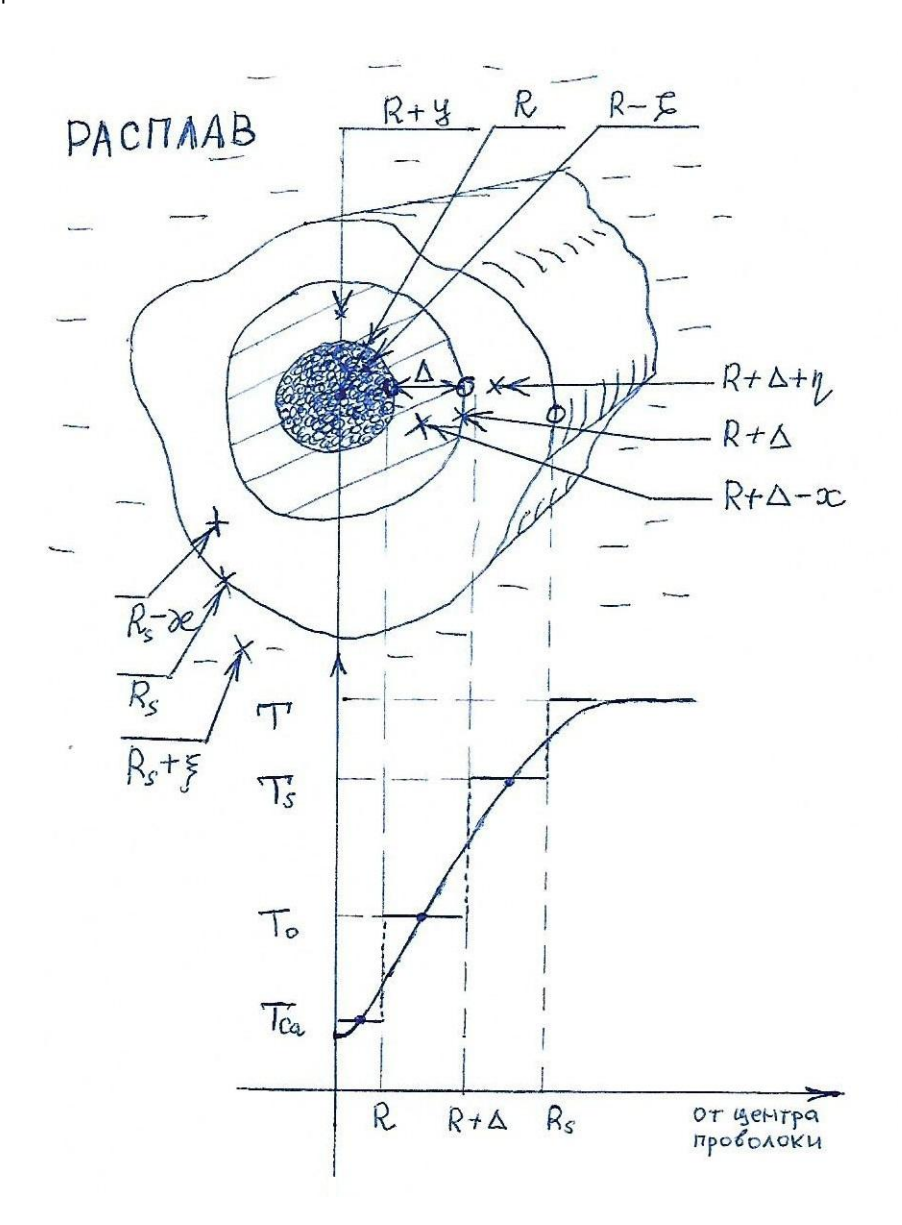


Рис. 1. Пояснения к принятым обозначениям.

Получим систему уравнений , которая определяет среднюю температуру выделенных элементов (усреднение берется вдоль направления радиуса элемента и пренебрегается зависимостью температуры элементов от координаты вдоль оси симметрии) от времени, после мгновенного помещения участка пп заданной длины в расплав. Начнем с подсчета тепла, которое попадает в наполнитель (для определенности будем говорить о кальции, однако это не имеет принципиального значения) и перетекает от оболочки . Примем, что средняя температура наполнителя T_{Ca} устанавливается в переходном слое толщиной ζ (см. Рис 1.). Зная поток тепла, в точке с цилиндрической координатой $r=R-\zeta$ (R —радиус стержня наполнителя) $j_{r=R-\zeta}=\lambda_{\text{Ca}}$ $_*(\delta T/\delta r)_{r=R-\zeta}$, можно вычислить скорость, нагревания цилиндрического элемента наполнителя из закона теплопроводности Фурье:

Здесь T_o -температура оболочки, S_R -площадь поперечного сечения через которое в наполнитель длины L входит тепло из оболочки, dt- промежуток времени, в течение которого происходит процесс, λ_{Ca} - коэффициент температуропроводности кальция, ρ_{Ca} - плотность стержня наполнителя, C_{Ca} - его теплоемкость. Дополнительным соотношением к этому уравнению является равенство потоков тепла в переходной слой наполнителя из переходного слоя оболочки, т.е.

 $(j_{-})_{r=R-\zeta}=(j_{+})_{r=R+y}$. Последнее условие дает соотношение:

$$\lambda_{c_0} \frac{(T_0 - T_{c_0})/2}{R - (R - E)} = \lambda_0 \frac{(T_0 - T_{c_0})/2}{R + y - R}$$
unu
$$\frac{\lambda_{c_0}}{E} = \frac{\lambda_0}{y}$$

Аналогичные рассуждения для оболочки дают еще два соотношения

$$\frac{dt}{dt} \frac{dT_o}{dt} \left(\pi \left((R + \Delta)^2 = R^2 \right) \right) \Delta \cdot g_o \cdot G_o L = \lambda_o \frac{t_s - T_o}{x} 2\pi \left(R + \Delta \right) L dt - \lambda_o \frac{t_o - T_{co}}{y} 2\pi R L dt$$

$$n \frac{d_o}{dt} = \frac{d_s}{g}$$

здесь T_{s^-} температура намерзшего слоя, λ_o , ρ_o , c_o -коэффициенты температуропроводности, плотность, теплоемкость материала оболочки, х -толщина переходного слоя оболочки, $\eta-$ аналогичная величина со стороны «намерзшего» слоя (см Рис1).

Для «намерзшего» слоя получаем уравнения

$$\frac{dt}{dt} \left[T_{S} \left(\pi (R_{S} - (R + \Delta)^{2}) \right] R_{S} C_{S} = \lambda_{S} \frac{T_{P} - T_{S}}{\xi} 2\pi R_{S} L dt - \lambda_{S} \frac{T_{S} - T_{O}}{\xi} 2\pi (R + \Delta) L dt + q_{P} 2\pi R_{S} L \frac{dR_{S}}{dt} dt \right]$$

$$m \frac{do}{\partial C} = \lambda_{S} / \eta$$

$$\pi_{P} M_{S} M_{S}$$

проводности в расплаве и в «намерзшем» слое не отличаются, что делает их погранслои одинаковыми, т.е. проводит к уравнению $\xi=\grave{\textbf{æ}}$. Здесь T_p —температура расплава в ковше, λ_s , ρ_s , c_s температуропроводность, плотность и теплоемкость в «намерзшем» слое расплава, q_{nn} -теплота плавления «намороженного» слитка.

Еще одно уравнение получим, если учтем, что вся теплота необходимая для расплавления небольшого слоя толщины dR_s закристаллизованного слоя должна поступить из расплава и в момент поступления она тратится только на его плавление, откуда:

$$d_{\rm M} q_{\rm ma} = q_{\rm ma} \, 2 \, {\rm fr} \, R_{\rm S} \, dR_{\rm S} \, g_{\rm S} \, L_{\rm I} = - \, A_{\rm S} \, \left(\frac{d\, T_{\rm S}}{d\, R_{\rm S}} \right) \, 2 \, {\rm fr} \, R_{\rm S} \, L \, dt$$
 или $\dot{T}_{\rm S} = \frac{d\, T_{\rm S}}{d\, t} = - \, {\rm Sign} \, q_{\rm ma} \, \frac{\left(q_{\rm mal} \, g_{\rm S}}{d\, s} \, \left(\, \mathring{R}_{\rm S}^{\, S} \right)^2 \,$, здесь sign $q_{\rm S}$ - знак теплоты плавления («+» когда идет кристаллизация и «-» для плавления).

Страница 4

Откуда окончательно приходим к системе уравнений:

$$\frac{d\,T_{o}}{d\,t} = \frac{A_{o}}{A_{g} \cdot G_{o}} \frac{1+\frac{A}{R}}{1+\frac{DA}{R}} \frac{T_{s} - T_{o}}{3c} - \frac{R\,A_{o}}{A\,g_{o}G_{o}(R+A)} \frac{T_{o} - T_{cq}}{g}$$

$$\frac{d\,T_{cq}}{d\,t} = \frac{2\,A_{cq}}{g_{cq}C_{cq}\,R} \frac{T_{o} - T_{cq}}{g}$$

$$\frac{d\,T_{cq}}{d\,t} = \frac{2\,A_{cq}}{g_{cq}C_{cq}\,R} \frac{T_{o} - T_{cq}}{g}$$

$$\frac{d\,T_{c}}{d\,t} = \frac{2\,A_{c}}{g_{cq}C_{cq}\,R} \frac{T_{c} - T_{cq}}{g}$$

$$\frac{d\,T_{s}}{d\,t} = -\frac{g_{rm}\,g_{s}}{A_{s}} \frac{\mathring{R}_{s}^{2}}{\mathring{R}_{s}^{2}}$$
из условий непрерывности производных на границах разделов:

наполнитель –оболочка, оболочка- намороженный слой, намороженный слой- расплав получаются дополнительные условия:

$$\frac{\lambda_{G}}{\xi} = \frac{\lambda_{O}}{y} = \frac{\lambda_{O}}{x} = \frac{\lambda_{S}}{y} =$$

где λ_{o} , λ_{Ca} , λ_{s} — температуропроводности оболочки, кальция, слитка: ρ_{o} , ρ_{Ca} , ρ_{s} - их плотности, c_{o} , c_{ca} , c_{s} - их удельные теплоемкости, $R+\Delta$, R, R_{s} - их радиусы, q_{nn} - удельная теплота плавления стали (и оболочки). Как видно эта система содержит 10 неизвестных величин: 3 температуры- T_{o} , T_{ca} , T_{s} ; радиус слитка- R_{s} и 6 величин, которые определяют характерные размеры для вычислений производных от температур T_{o} , T_{ca} , T_{s} по радиусу- x, y, ξ , η , ζ , $\grave{\approx}$.

Обезразмерим систему (1). Для этого введем характерную единицу времени соотношением: $\tau_o = \rho_o * c_o * \Delta * \mu/\lambda_o$. Далее примем, что время $z = t/\tau_o$ безразмерное и измеряется в единицах τ_o . Выбрав μ в виде $\mu = x*(1+\Delta/2R)/(1+\Delta/R)$ (х определяет ширину переходного слоя от одной температуры к другой со стороны оболочки на границе оболочка-намороженный слой см. Рис.1 и пока не определен) добиваемся того, что коэффициент перед первым слагаемым в первом уравнении становится равен единице. Тогда

$$\begin{aligned}
& \stackrel{\downarrow}{t}_{o} = (\stackrel{\downarrow}{t}_{s} - t_{o}) - \frac{R}{R + \Delta} \frac{\Im C}{Y} \left(\stackrel{\downarrow}{t}_{o} - t_{cq} \right) \\
& \stackrel{\downarrow}{t}_{cq} = \frac{2\lambda_{o}\gamma_{o}}{g_{cq}c_{cq}YR} \left(\stackrel{\downarrow}{t}_{o} - t_{cq} \right) = 2\frac{g_{o}c_{o}}{g_{cq}c_{eq}} \frac{\Delta}{R} \frac{\Im}{Y} \frac{1 + \frac{2\Delta/R}{1 + \Delta/R}}{1 + \Delta/R} \left(\stackrel{\downarrow}{t}_{o} - t_{cq} \right) \\
& \stackrel{\downarrow}{d}_{cq} \left(\stackrel{\downarrow}{t}_{s} \left(\stackrel{\uparrow}{r_{s}} - \stackrel{\downarrow}{l} \right) \right) = \frac{2\lambda_{s}G_{o}c_{o}}{C_{s}g_{s}\left(1 + \Delta/R\right)^{2}\lambda_{o}} \frac{\Delta}{R} \frac{\Im C}{\xi} \stackrel{\uparrow}{t}_{s} \left(1 - t_{s} \right) - \frac{2\rho_{o}c_{o}}{g_{s}C_{s}\left(1 + \Delta/R\right)} \frac{\Delta}{R} \left(\stackrel{\downarrow}{t}_{s} - t_{o} \right) + \frac{2q_{n}\Lambda_{r}}{c_{s}T_{p}} \stackrel{\downarrow}{t}_{s} \\
& \stackrel{\downarrow}{t}_{s} = -\Omega \stackrel{\uparrow}{r_{s}} \frac{\lambda_{o}}{1 + \Delta/R} = \frac{A_{o}}{R} \stackrel{\downarrow}{t}_{s} \frac{\lambda_{o}}{R} = \frac{A_{o}}{Y} \stackrel{\downarrow}{t}_{s} = \frac{\Delta}{Y} \stackrel{\downarrow}{t}_{s} = \frac{\Delta}{Z} \stackrel{\downarrow}{t}_{s} = \frac{\Delta}{Z}$$

Удобно (1') записать через коэффициенты

$$G = \left(\frac{R}{(R+\Delta)}\right) \left(\frac{3c}{y}\right); \ 6 = 2 \frac{9 \circ Co}{9 \circ Co} \frac{A}{R} \frac{3c}{y} \frac{1+\Delta/R^2}{1+\Delta/R}$$

$$LO_S = 2 \frac{CoP_0}{CsP_s} \frac{A_s}{A_0} \frac{(1+\Delta/R)^2}{(1+\Delta/R)^2} \frac{A}{R} \frac{3c}{z} = \omega_0 \frac{A_s}{A_0} \frac{2c}{z} \frac{1}{(1+\Delta/R)}$$

$$\omega_0 = 2 \frac{GoP_0}{CsP_s} \frac{1+\Delta/2R}{(1+\Delta/R)^2} \frac{A}{R}; \quad \Omega = \frac{9nA}{R} \frac{S_s}{S} \frac{(9sA_0)}{(9sA_s)} \frac{(R+\Delta)^2(1+\Delta/R)}{2c \cdot \Delta}$$

$$D = \frac{29nA}{CsT_p}; \quad \gamma_0 = \frac{9 \circ C_0}{A_0} \frac{7c \cdot \Delta}{1+\Delta/R} \frac{1+\Delta/2R}{1+\Delta/R}$$

в виде системы обыкновенных дифференциальных уравнений:

$$\begin{aligned}
t_o &= (t_s - t_o) - Q(t_o - t_{cq}) \\
t_{cq}^* &= b(t_o - t_{co}) \\
\frac{d}{dz}((\kappa_s^2 - 1)t_s) &= \omega_s(1 - t_s) - \omega_o(t_s - t_o) + N \kappa \kappa \\
t_s^* &= -\Omega \kappa^2 \\
x &= \eta(\lambda_o/A_s); \quad \xi = \varkappa; \quad y = \kappa(\lambda_o/A_{cq})
\end{aligned}$$
(1")

с начальным условиями $t_{Ca}(0)=t_o(0)=0$; $t_s(0)=r_s(0)=1$.

Можно строго доказать (не делаем этого для краткости), что 3-е и 4 –ое уравнения (1") дают для t_s кривую уменьшающуюся от 1 до min значения и затем, стремящуюся к 1 при z стремящимся к бесконечности. Аналогично для r_s получаем кривую возрастающую от 1 до max значения, а затем спадающую к 1 при z стремящимся к бесконечности. Заменим эти кривые двумя параболами до некоторого достаточно большого $z=2z_o$ и единицами при $z>2z_o$. Тогда получаем окончательную систему для решения:

$$\begin{aligned}
t_{0} &= (t_{5} - t_{0}) - \alpha (t_{0} - t_{0}) \\
t_{0} &= \delta(t_{0} - t_{0}) \\
t_{0}$$

Здесь введены новые переменные α , β , z_o , r^{max}_s , t^{min}_s определяющие введенные параболы. Для введенных величин можно получить систему из пяти алгебраических уравнений, решать которую значительно проще, чем исходные два дифференциальных соотношения для определения t_s и r_s . Систему этих уравнений определяют следующие условия: связь между константами в стационарных точках, при z стремящемся к бесконечности и в точках экстремумов $dr_s/dz=dt_s/dz=0$. Получаем:

Контакты: Борисов A. <u>basifto@mail.ru</u>; +79168002718мт

$$\int \frac{\omega_{s}}{\omega_{o}} \left(\frac{\beta \overline{\epsilon}_{o}}{2} \right) = \left(\frac{t_{s}^{\text{him}}(z_{o}) - t_{o}(z_{o})}{t_{o}(z_{o}) - t_{o}(z_{o})} \right)$$

$$\beta Z_{o} = 2 \left(1 - \frac{t_{s}^{\text{him}}(z_{o})}{t_{o}(z_{o}) - t_{o}(z_{o})} \right)$$

$$d = \beta \left(\frac{t_{s}^{\text{him}}(z_{o}) - t_{o}(z_{o})}{t_{o}(z_{o}) - t_{o}(z_{o})} \right)$$
(3)

Также используем равенство разложений решений 2-х дифференциальных уравнений для t_s и r_s из (1") в окрестности малых z в ряд по степеням z, что дает (учитываем только степени 1-го порядка по z, т.е. полагаем r_s =1+ α -z и t_s =1- β -z и, кроме того, учитываем, что в третьем уравнении (1") в окрестности малых z является более правильным в левой части уравнения отбросить -1, что означает учет наличия наполнителя и оболочки для создания более холодного «намороженного» слоя вокруг проволоки в момент ее ввода в расплав. В противном случае «холода» самого намороженного слоя при z=0 не хватает, что бы получить искомые значения α >0 и β >0, т.е чтобы началась кристаллизация расплава вблизи проволоки)

$$\alpha = (1/2\Omega)_*(((2-D)^2 + 4*\omega_0*\Omega)^{1/2} + (2-D))$$

 $\beta = \Omega_*\alpha^2$

Окончательно получаем, что в системе (2)-(3) имеется 12 уравнений в которых неизвестными являются 15 (т.е. 4+6+5=15) переменных. Иными словами для однозначного решения три переменные остаются неопределенными. Это есть полуэмпирические константы, которые должны быть введены в расчёт для замыкания системы. Эмпирические постоянные для замыкания системы вводим следующим образом :

$$\tau_0$$
; x/y; x/ ξ

и эти данные должны быть выбраны из условий лучшего согласования расчета с измерениями.

2.1 Приближенное решение системы (3).

В системе (3) пять неизвестных: α , β , z_o , r^{max}_s , t^{min}_s . Смысл этих переменных следующий: z_o определяет безразмерное время (или вертикальную координату вниз под шлак, т.е. $z_o*\tau_o*\nu_{\text{инжекции}}$), когда слиток затвердевшего вокруг проволоки расплава начинает плавиться и его кристаллизация прекращается; $2z_o$ момент времени его полного расплавления и исчезновения; α и β скорости роста радиуса слитка и скорость падения его температуры при малых временах z:

$$r(z) = 1 + (\alpha/2z_0)*(2z*z_0-z^2) = 1 + \alpha z - (\alpha/2z_0)*z^2 \approx 1 + \alpha z$$
 при малых z;

$$t(z) = 1 - (\beta/2z_o) * (2z*z_o-z^2) = 1 - \beta z + (\beta/2z_o) * z^2 \approx 1 - \beta z$$
 при малых z;

 r^{max} ., t^{min} , максимальное значение радиуса слитка и минимальное значение его температуры.

Решение выписанной системы алгебраических уравнений удобно начинать с определения α и β , что дает:

$$\alpha = ((1-D/2)/\Omega) + ((\omega_o/\Omega) + ((1-D/2)/\Omega)^2)^{0.5}; \beta = \Omega * \alpha^2; r^{max} = 1 + (\alpha z_o/2); t^{min} = 1 - (\beta z_o/2),$$

кроме того, необходимо также решить уравнение для z_o:

Контакты: Борисов A. <u>basifto@mail.ru</u>; +79168002718мт

$$z_o = (\omega_o/(\omega_s + \omega_o))*(1-t_o(z_o))*(2/\beta).$$

Сложность решения выписанной выше системы состоит в том, что входящая в эти уравнения функция $t_o(z)$ (температура оболочки) сама зависит от решений данной системы, т.к. поток тепла из ковша в оболочку экранируется затвердевшим слоем металла с более низкой температурой. Из выписанного выше можно заметить, что чем больше успеет нагреться оболочка и, следовательно, тем ближе будет значение t_o при $z=z_o$ к единице, тем меньше будет z_o - полуширина затвердевшего слоя расплава, экранирующего поток тепла из ковша в проволоку. Тем меньше также будет температура «замороженного» слитка t^{min} $_s$ отличаться от температуры расплава, т.е. от единицы т.к.:

$$t^{min}_{s} = 1 - (\omega_o/(\omega_s + \omega_o)) * (1 - t_o(z_o)).$$

С другой стороны видно, что скорость нарастания затвердевшего слоя расплава на входе проволоки в ковш α , может иметь только положительное значение. Таким образом, слиток всегда образуется для данной проволоки и температуры расплава. Последнее есть следствие проведенной в (3) корректировки уравнений. Так уравнение для слитка

из (1") $d/dz((r^2_s-1)t_s)=\omega_s*(1-t_s(z))-\omega_o*(t_s(z)-t_o(z))+D*r_s*(dr_s/dz)$ при малых z превращается в уравнение $\alpha=\omega_o/(D-2)+o(z)$ или $\alpha\approx(\omega_o/2)^*$ ($C_sT_p/(q_{nn}-C_sT_p)$). Даже приняв температуру расплава комнатной $T_p=3*10^2$ гр.С, для $C_s=7,7*10^2$ Дж/кг*К и $q_{nn}=9*10^4$ Дж/кг (см таблицу 3 далее, взятую из [4]) α отрицательно, т.е. слиток не образуется. Иными словами холода одной оболочки не хватает, чтобы быстро охладить близлежащий к ней слой расплава до кристаллизации. Чтобы это исправить в левой части выписанного выше уравнения слитка приходится отбрасывать единицу, получая $\alpha>0$ (иными словами приходится корректировать теплосодержание слитка, учитывая холод не только оболочки, но и наполнителя). При этом $\alpha=((1-D/2)/\Omega)+((\omega_o/\Omega)+((1-D/2)/\Omega)^2)^{0.5}$ положительно при любых температурах расплава и Ω сама линейно зависит от D, т.е. $\Omega=D/2*\Omega_o$ (здесь введено $\Omega_o=((C_s\rho_s/\lambda_s)/(C_o\rho_o/\lambda_o))*(R/x)(R/\Delta)*(1+\Delta/R)^3/(1+\Delta/2R))$. Минимальная скорость роста α достигается при D>>2 и $\alpha\to 0$. Максимально возможный радиус слитка: $r^{max}_s=1+(\alpha/\beta)*(\omega_o/(\omega_s+\omega_o))*(1-t_o(z_o))$ достигается в случае, если оболочка практически не прогрелась (т.е. $t_o(r_o)<<1$) и составляет $r^{max}_s=1+(\alpha/\beta)*(\omega_o/(\omega_s+\omega_o))$.

Рассмотрим уравнение, которое определяет z_o -протяженность затвердевшего слитка по времени (или его полувысоту $z_o*\tau_o*v$ _{инжекции} внутри ковша). Это третье уравнение в выписанной системе. Для простоты возьмем $t_o(z)$ как решение (2) для пустотелой оболочки $t_o(z)=1-\exp(-z)$ (см. п.6.1 далее). Отсюда получаем приближенное уравнение для z_o в виде $z_o=(2/\beta)*(1+(\omega_s/\omega_o))^{-1}*\exp(-z_o)$. Его приближенное решение $z_o\approx(2\omega_o)/((\beta+2)*\omega_o+\beta*\omega_s)$ при $\beta>>1$.

В частности для тонкостенных стальных проволок, у которых обычно $\Delta/R<<1$ из сказанного выше получаем $(\Omega/D/2)\approx(1+2,5*(\Delta/R))*(R^2/(x*\Delta))$, считая, что $C_s\rho_s/\lambda_s\approx C_o\rho_o/\lambda_o$. При $\Delta/R=0,1$ для x/R=1/2 получаем $\Omega_o\approx 25>>1$, а $\Omega\approx (9*10^4/2*10^3*8*10^2)*25=1,4$. Аналогично: $\omega_s\approx \omega_o\approx 2*(\Delta/R)*(1-1,5\Delta/R)=0,17$ и $\alpha*\Omega\approx 2*(1-D)=\beta/\alpha$ откуда $\alpha=1,26$ $\beta=2,25$. Для $2z_o$ приближенно получаем $2/(1+\beta)=0,6$, что дает r^{max} $_s=1,19$ т.е. увеличение радиуса проволоки на 19% за счет образования намороженного слоя, а для t^{min} $_s=0,66$ т.е. уменьшение температуры слитка на 34% к температуре расплава.

Для стальных стержней без внутренних полостей, у которых $\Delta/R \to \infty$ аналогичные вычисления дают (для определенности принимаем R/ Δ =10 и R/x=2): $\Omega_{\circ} \approx$ 40>>1, а $\Omega \approx$ 2,24, $\omega_{s} \approx$ x/ $\Delta \approx$ 0, $\omega_{o} \approx$ 1 и α =(1-D)/ Ω + $\sqrt{(\omega_{o}*\Omega)}\approx$ 0,98; β =2,41. Для 2 z_{o} приближенно получаем (4/ β)/(1+2/ β)=0,94, что дает

 r^{max} _s=1,23 т.е. увеличение радиуса стержня на 23% за счет образования намороженного слоя при значительном, 56%-м росте его ширины (по сравнению со случаем справедливым для тонких оболочек), а t^{min} _s=0,57 т.е. уменьшение температуры слитка на 43% к температуре расплава, что возможно занижено и говорит о том, что используемое приближенное решение является грубоватым для стальных стержней (т.е. для стержней со значительной плотностью) без полости (хотя для других материалов может оказаться вполне приемлемым).

<u>3. Сравнение с экспериментами.</u> Прежде всего отметим ,что в экспериментах время плавления оболочек пп прямо определить невозможно. Но если вводить одну и ту же пп в ковш с разными скоростями, график зависимости усвоения Са от скорости будет иметь вид кривой с максимумом. Наше предположение состоит в том, что максимум кривой отвечает оптимальной скорости инжекции и получается для условия, когда плавление оболочки, происходит вблизи дна ковшевого агрегата на максимальной глубине расплава . Задавая глубину расплава Н (т.е. высоту ковша без толщины донной футеровки и свободного борта коша) и скорость инжекции в максимуме кривой $v=v_{ont}$ из этого предположения получаем связь времени плавления оболочки со скоростью инжекции для данного вида пп: $t_{пл}=H/v_{ont}$. Для дальнейшего заметим, что времена нагрева системы кальций-оболочка, плавления наполнителя и оболочки (для определенности берем случай с кальцием) в случае применения различных диаметров и толщин стенок при данной конструкции оболочки порошковой проволоки допускают следующую оценку их иерархии (см. Таблицу 1):

Таблица 1.

D,mm/Δ,mm	9,2/0,6	9,6/0,8	11/0,8	10/1	11,6/1	14/1	9,6/1,5
Время нагревания пустотелой оболочки (в единицах t/τ_o).	0,1	0,19	0,19	0,29	0,29	0,29	0,66
Время нагревания наполнителя до Т-ры газификации (в единицах t/τ_o).	0,62	0,59	0,97	0,55	0,85	1,39	-
Время плавления оболочки, t/ au_o .	0,18	0,32	0,32	0,50	0,50	0,504	1,135
Время нагревания оболочки и наполнителя (без учета экранирования намороженным слоем), t/τ_o .	1,94	2,02	3,06	2,12	2,94	4,43	1,85

Как видно для большинства применяемых пп оценки времен нагревания оболочки содержащей наполнитель (даже без учета эффекта экранирования потока тепла «намерзшим» слоем, который только увеличивает время нагревания) значительно превышают оценки времен плавления оболочки в расплаве. Это дает возможность время нагревания оболочки до температуры плавления приближенно считать за время до расплавления оболочки и выброса наполнителя в расплав и тем самым сопоставить расчет с измеренными величинами

$$t_{пл} \approx t_{нагревания} = H/v_{опт}$$
.

4. Выбор эмпирических параметров. Из соображений симметрии следует, что отношения толщин переходных слоев x/y и x/ξ не должны сильно отличаться и могут зависеть только лишь от диаметров и толщин стенок используемых пп. Наиболее простым предположением будет являться выбор (см также вывод формул (8)-(9)):

$$x/\xi = 1;$$
 $x/y = 1;$ $\tau_o = \rho_o * c_o * \Delta * x * (1 + \Delta/2R)/(1 + \Delta/R)/\lambda_o$ (4)

Дополнительные проведенные расчеты показали, что условием близким к оптимальному согласованию измерений с расчетами (для рассматриваемого семейства проволок с абсолютно герметичной заваренной оболочкой, например типа Hi-Cal из $[\ 1\]$) в случае выбора (4) является значение величины x=4,7мм.

<u>5.Симметрии</u>. Имеется несколько интересных свойств решений системы уравнений (1')-(1"). Динамика изменения температур системы при допущениях (4) — не зависит от λ_{Ca} , а определяется только его плотностью и теплоемкостью. Если вместо стали выбрать материал с другой плотностью, а теплоемкость изменить пропорционально, чтобы сохранить произведение $\rho_{o^*}c_o$ постоянным, то динамика нагревания системы не изменится. Динамика системы в безразмерном времени $z=t/\tau_o$ зависит в основном от Δ/R , ρ_{Ca} и слабо зависит от R (только через Ω , который определен в системе (1`)). Значит пп с близким отношением Δ/R при одинаковом заполнении проволоки кальцием должны иметь близкие значения безразмерного времени плавления оболочки $z_{пл} = t_{пл}/\tau_o$ (но отнюдь не размерного времени плавления выраженного в секундах, т.к. при выборе (4) в него входит величина τ_o , которая прямо пропорциональна толщине оболочки Δ).

6.Решение системы для полой оболочки и оболочки с наполнителем, но без экранирования налипшим слоем расплава. Простейшее решение системы (2)-(3) достигается для случая, когда нет налипания «намерзшего» слоя. Тогда ρ_s ->0 и Ω ->0, что дает β =0 z_o =0 и r_s =1. В этом случае система допускает явные точные решения:

$$\begin{aligned}
& (z) = -\frac{1+\lambda_{2}}{\lambda_{1}-\lambda_{2}} \left(1 - e^{\lambda_{1}z}\right) + \frac{1+\lambda_{1}}{\lambda_{1}-\lambda_{2}} \left(1 - e^{\lambda_{2}z}\right) \\
& + \frac{1+\lambda_{1}}{\lambda_{1}-\lambda_{2}} \left(1 - e^{\lambda_{1}z}\right) + \frac{1+\lambda_{1}}{\lambda_{1}-\lambda_{2}} \left(1 - e^{\lambda_{2}z}\right) \\
& + \frac{1}{\lambda_{1}-\lambda_{2}} \left(1 - e^{\lambda_{1}z}\right) + \frac{1+\lambda_{1}}{\lambda_{1}-\lambda_{2}} \left(1 - e^{\lambda_{2}z}\right) \\
& + \frac{1}{\lambda_{1}-\lambda_{2}} \left(1 - e^{\lambda_{1}z}\right) + \frac{1+\lambda_{1}}{\lambda_{1}-\lambda_{2}} \left(1 - e^{\lambda_{2}z}\right) \\
& + \frac{1+\lambda_{1}}{\lambda_{1}-\lambda_{2}} \left(1 - e^{\lambda_{1}z}\right) + \frac{1+\lambda_{1}}{\lambda_{1}-\lambda_{2}} \left(1 - e^{\lambda_{2}z}\right) \\
& + \frac{1+\lambda_{1}}{\lambda_{1}-\lambda_{2}} \left(1 - e^{\lambda_{1}z}\right) + \frac{1+\lambda_{1}}{\lambda_{1}-\lambda_{2}} \left(1 - e^{\lambda_{2}z}\right) \\
& + \frac{1+\lambda_{1}}{\lambda_{1}-\lambda_{2}} \left(1 - e^{\lambda_{1}z}\right) + \frac{1+\lambda_{1}}{\lambda_{1}-\lambda_{2}} \left(1 - e^{\lambda_{2}z}\right) \\
& + \frac{1+\lambda_{1}}{\lambda_{1}-\lambda_{2}} \left(1 - e^{\lambda_{1}z}\right) + \frac{1+\lambda_{1}}{\lambda_{1}-\lambda_{2}} \left(1 - e^{\lambda_{2}z}\right) \\
& + \frac{1+\lambda_{1}}{\lambda_{1}-\lambda_{2}} \left(1 - e^{\lambda_{1}z}\right) + \frac{1+\lambda_{1}}{\lambda_{1}-\lambda_{2}} \left(1 - e^{\lambda_{2}z}\right) \\
& + \frac{1+\lambda_{1}}{\lambda_{1}-\lambda_{2}} \left(1 - e^{\lambda_{1}z}\right) + \frac{1+\lambda_{1}}{\lambda_{1}-\lambda_{2}} \left(1 - e^{\lambda_{2}z}\right) \\
& + \frac{1+\lambda_{1}}{\lambda_{1}-\lambda_{2}} \left(1 - e^{\lambda_{1}z}\right) + \frac{1+\lambda_{1}}{\lambda_{1}-\lambda_{2}} \left(1 - e^{\lambda_{2}z}\right) \\
& + \frac{1+\lambda_{1}}{\lambda_{1}-\lambda_{2}} \left(1 - e^{\lambda_{1}z}\right) + \frac{1+\lambda_{1}}{\lambda_{1}-\lambda_{2}} \left(1 - e^{\lambda_{2}z}\right) \\
& + \frac{1+\lambda_{1}}{\lambda_{1}-\lambda_{2}} \left(1 - e^{\lambda_{1}z}\right) + \frac{1+\lambda_{1}}{\lambda_{1}-\lambda_{2}} \left(1 - e^{\lambda_{2}z}\right) \\
& + \frac{1+\lambda_{1}}{\lambda_{1}-\lambda_{2}} \left(1 - e^{\lambda_{1}z}\right) + \frac{1+\lambda_{1}}{\lambda_{1}-\lambda_{2}} \left(1 - e^{\lambda_{2}z}\right) \\
& + \frac{1+\lambda_{1}}{\lambda_{1}-\lambda_{2}} \left(1 - e^{\lambda_{1}z}\right) + \frac{1+\lambda_{1}}{\lambda_{1}-\lambda_{2}} \left(1 - e^{\lambda_{2}z}\right) \\
& + \frac{1+\lambda_{1}}{\lambda_{1}-\lambda_{2}} \left(1 - e^{\lambda_{1}z}\right) + \frac{1+\lambda_{1}}{\lambda_{1}-\lambda_{2}} \left(1 - e^{\lambda_{2}z}\right) \\
& + \frac{1+\lambda_{1}}{\lambda_{1}-\lambda_{2}} \left(1 - e^{\lambda_{1}z}\right) + \frac{1+\lambda_{1}}{\lambda_{1}-\lambda_{2}} \left(1 - e^{\lambda_{1}z}\right) \\
& + \frac{1+\lambda_{1}}{\lambda_{1}-\lambda_{2}} \left(1 - e^{\lambda_{1}z}\right) + \frac{1+\lambda_{1}}{\lambda_{1}-\lambda_{2}} \left(1 - e^{\lambda_{1}z}\right) \\
& + \frac{1+\lambda_{1}}{\lambda_{1}-\lambda_{2}} \left(1 - e^{\lambda_{1}z}\right) + \frac{1+\lambda_{1}}{\lambda_{1}-\lambda_{2}} \left(1 - e^{\lambda_{1}z}\right) \\
& + \frac{1+\lambda_{1}}{\lambda_{1}-\lambda_{2}} \left(1 - e^{\lambda_{1}z}\right) + \frac{1+\lambda_{1}}{\lambda_{1}-\lambda_{2}} \left(1 - e^{\lambda_{1}z}\right) \\
& + \frac{1+\lambda_{1}}{\lambda_{1}-\lambda_{2}} \left(1 - e^{\lambda_{1}z}\right) + \frac{1+\lambda_{1}}{\lambda_{1}-\lambda_{2}} \left(1 - e^{\lambda_{1}z}\right) \\
& + \frac{1+\lambda_{1}}{\lambda_{1}-\lambda_{2}} \left(1 - e^{\lambda_{1}z}\right) + \frac{1+\lambda_{1}}{\lambda_{1}-\lambda_{2}} \left$$

<u>6.1 Пустотелая оболочка.</u> Выражения (5) упрощаются для случая пустотелой оболочки. В этом случае ρ_{Ca} ->0, что приводит к величине b>>1 и, следовательно, $\lambda_{1,2}$ из (5) к λ_1 ->-b и λ_2 ->-1. Подставив эти величины в (5) получим, что формально t_{Ca} -> t_{o} и

$$t_{o (\varkappa \iota \iota J)} = 1 - \exp(-z), z = t/\tau_o$$
 (6).

Отсюда время нагревания пустотелой оболочки до расплавления:

$$t = \tau_{o} \cdot \ln(1/(1 - t_{o (x \bowtie A)})) = (\rho_{o} \cdot c_{o} / \lambda_{o}) \cdot \Delta \cdot x \cdot (1 + \Delta/2R)/(1 + \Delta/R) \cdot \ln(1/(1 - 0.95))$$
 (6a)

Как видно при выбранном условии имеется линейная зависимость времени от параметра ∆∙х. В какой-то степени эксперименты отражают эту зависимость, что является дополнительным обоснованием выбора (4).

Интересно сравнить время плавления пустотелой оболочки с аналогичной величиной, но уже для общего случая заполненной кальцием оболочки с учетом «намороженного слоя» (соответствующее решение получено в п.7). Такое сравнение представлено в % в последнем столбце Таблицы 2 для различных проволок типа Hi-Cal [1]. Как видно из таблицы точность приближения расчетов по (6а) падает с ростом диаметра и существенно возрастает с ростом толщины стенки.

Таблица2.

Параметры	Время	Время	Разность	
порошковой	плавления	плавления	значений из	
проволоки:	пустотелой	оболочки с	столбца3 и	
внешний	оболочки	кальцием	столбца2	
диаметр/толщина	согласно	(взято из	поделенная	
стенки Dmm/∆mm	(6а), сек Таблицы 4), сек		на значение в	
			столбце 2, %	
9,8/1,5	2,21	2,79	21	
10/1,2	1,81	2,50	28	
14/1,2	1,86	2,83	34	
11,6/1,0	1,55	2,54	39	
10/1,0	1,53	2,30	33	
9,6/0,8	1,24	2,04	39	
11,6/0,8	1,25	2,35	47	

6.2 Сплошной стержень круглой формы из однородного материала внесенный в расплав.

Задача о расчете температуры стержня из однородного материала (без внутренних полостей), помещенного во внешнюю среду с более высокой температурой, относится к классической задаче. Она решалась во множестве постановок. Стержень с движением относительно среды- расплава [7], покоящийся стержень [5-6] и т.д. В литературе имеется целый ряд постановок задач, для которых данная проблема решена см. например [6]. Ниже показано, что подход, принятый в п. п. 1 - 6 ранее также позволяет получить результаты для данного случая и они согласуются с результатами, полученными другими авторами.

Начнем с общей постановки задачи. Пусть имеется твердый однородный стержень без внутренних полостей, который в момент времени t=0, начинает вводиться в расплав стали со скоростью V_o . Расплав поддерживается при постоянной температуре T_p . Начальная температура стержня одинакова по сечению и составляет T_o , причем $T_o << T_p$. Ось z неподвижной цилиндрической системы координат направим вниз в глубь расплава. Границу расплава (шлак) поместим в плоскость z=0. Примем для простоты, что стержень имеет круглое сечение (может быть рассмотрен и общий случай, однако в практических целях в большинстве случаев стержня круглого сечения достаточно). Выпишем уравнения, которые определяют его температуру. Для

того, чтобы это сделать, перейдем в систему координат, связанную с движущимся стержнем. Пусть скалярная функция T (r, z, t) описывает температурное поле внутри стержня и в расплаве в неподвижной системе координат (СК), причем примем, что в момент времени t=0 обе системы координат совпадают. Ясно, что в движущейся со скоростью V_o СК функция T должна быть той же, но относительно переменных подвижной системы координат: T = T(r', z', t'), где r' = r, $z' = V_o * t$ и $t' = t + z/V_o$. Уравнение распределения температуры с учетом осевой симметрии в движущейся СК есть $\partial T/\partial t' = \{(1/r') \partial/\partial r' (r'\partial T/\partial r') + \partial^2/dz^2\} T = \Box_{r'z'} T$. Каково должно быть уравнение распределения температуры в неподвижной СК? Считаем частную производную $\partial/\partial t'$ для перехода из подвижной СК в неподвижную, зависимой от t и от z. Тогда, учитывая связь t' = t + z/Vo получаем $\partial/\partial t' = \partial d + V_o * \partial/\partial z$. Подставим это соотношение в уравнение теплопроводности в подвижной СК и перейдем от координат r', z', t' к r, z, t. Получим, что:

$$\partial T/\partial t + V_{o*}\partial T/\partial z = \Box_{r,z} T = ((1/r)*\partial/\partial r + \partial^2/\partial r^2 + \partial^2/\partial z^2)T$$
 (7)

<u>6.2.1 Рассмотрим уравнение (7) при $V_o = 0$.</u> В этом случае подвижная СК совпадает с неподвижной. Начальные и граничные условия к задаче (7) есть T (0, H, 0) = T_{nn} = $\lambda_{o*}T_p$ (λ_o < 1) здесь T_{nn} - температура плавления материала стержня; $T(r,0,0) = T_0 = Const$ для r<R. Н в данном случае обозначает глубину, где сердцевина стержня плавится (т.е. происходит полное расплавление участка стержня в расплаве для z>H). Учтем, что после того, как это произойдет, тепло начнет поступать в близлежащую точку Н - б, б->+ 0, и в скором времени это сечение также будет расплавлено. Значит, вдоль оси стержня вверх побежит граница плавления (при этом точки стержня с координатой z нагреваются все больше и больше). Какова будет скорость движения границы плавления? Пусть удельная теплота плавления материала есть $\mathsf{Q}_{\mathsf{п}\mathsf{n}}$. Тогда, чтобы расплавить массу стержня dm, необходимо, чтобы из расплава поступило тепло dq = Q_{nn} .*dm. Это тепло поступит за счет теплопроводности за время dt, значит dq = $\lambda_*(S_*\partial T/\partial r + S_*\partial T/\partial z)_*dt$. Так как S+ $\partial T/\partial r \sim T_*(S/r) >> S_*\partial T/\partial z \sim T_*(S/z)$ для порошковых проволок с диаметром порядка ~ 1 см при H \sim 1 м, то dq=Q_{пл}.*dm=Q_{пл}.* ρ_* S*dz= λ_* ($\partial T/\partial r$)*S*dt. Откуда получаем: $V_{\text{плав.}}$ = dz/dt= $\lambda/(\rho_*Q_{\text{пл.}})_*(\partial T/\partial r)$ $=\lambda/(\rho * Q_{n,n})* \Delta T/R, \Delta T=T_p$ - $T_{n,r}$; R - радиус проволоки. В таблице 3 приведен расчет скоростей движения границ для алюминиевого и стального круглых стержней в соответствии с соотношением выше. Как видно в случае со сталью, скорость движения границы плавления более чем в 20 раз меньше.

Таблица 3.

	Единицы	Al	Сталь	
ρ	кг/м∗∗3	2700	7800	
C _p	Дж/кг∗К	1050	770	
λ	Вт/м∗К	220	50	
Δ	MM	6,8	6,8	
T _o	К	293	293	
Тпл	К	1206	1799	
$\tau_{n_{J}}$	сек	0,309	2,83	
V _{плав}	мм/сек	20	0,7	
Q _{пл}	Дж/кг	3,9 _* 10 ⁵	9 _* 10 ⁴	
Tp	К	1873	1873	

Для порошковых проволок типа Hi-Cal (с заваренными стальными оболочками толщиной ~ 1 мм) скорость движения точки плавления оболочки из стали глубокой вытяжки в неподвижной СК

будет примерно в 7 раз выше, чем приведено в таблице 3 (из-за меньшей толщины), но явно недостаточной, чтобы за время инжекции проволоки (порядка 10^2 сек) сдвинуть эту точку на значительное (>0,5м) по сравнению с размером ковша расстояние. Данный фактор может сказаться только для ковшей малой емкости для наполнителей с большим удельным давлением паров (например, Ca) при больших свободных бортах. В этом случае к высоте ковша Н нужно добавить половину расстояния, на которое сдвинется точка плавления за время инжекции проволоки $h_o = V_{плав}$, $t_{инжекции}$, чтобы правильно рассчитать оптимальную скорость ввода $V_o = (H+0,5*h_o)/t_{плав}$, где $t_{плав}$. - время плавления оболочки с наполнителем.

<u>6.2.2 Случай V_o</u> не равн нулю. В этом случае граница плавления может бежать вдоль оси стержня как к поверхности расплава, так и от нее в зависимости от скорости инжекции проволоки. На практике скорость движения границы плавления существенно меньше скорости инжекции, т.е. за время инжекции точка плавления практически не сдвинется в неподвижной системе СК. Такой режим условно можно назвать квазистационарным (по аналогии со случаем, когда скорость плавления в точности компенсирует скорость инжекции, что приводит к кажущейся стационарности процесса в неподвижной СК). В этом случае в расплаве устанавливается режим, когда первый член в уравнении (7) равен нулю и должен быть отброшен. Тогда (7) описывает стационарный процесс в неподвижной СК. Этот процесс аналогичен нестационарному при переходе к подвижной СК согласно формуле $t=z/V_o$.

6.3 Покажем, что уравнения системы (1)-(2) сводятся к (7) в пределе R/Δ ->0, где R - радиус полости, те для случая сплошного круглого стержня.

Покажем это на примере расчета времени плавления цилиндрической оболочки с толщиной стенки Δ , с радиусом полости R —>0 в подвижной системе координат. В (1") для такой оболочки получено уравнение dt_o / $dz=(t_s-t_o)$ -a- (t_o-t_{Ca}) , $a=(R/(R+\Delta)*(x/y))$. Откуда в соответствии с обозначениями на Pис.1 dt_o / $dz=t_s$ ($R+\Delta$)- t_o ($R+\Delta-x$)-a*(t_o ($R+\Delta-x$)- t_{ca} (R)). Считаем t_o непрерывной переменной относительно индексов o, s, c, которые припишем различным геометрическим точкам пространства вдоль радиуса стержня. Отсюда получим, что dt_o / $dz=t_o$ ' ($R+\Delta$)-x- a-t- (t_o ($R+\Delta-x$)- t_{ca} (R)); t_o ' ($R+\Delta$)= dt_o ($R+\Delta$)/dz и, следовательно, dt_o / $dz=t_o$ ' ($R+\Delta$)-x- a-t- (t_o (R+y)- t_o (R))= t_o ' ($R+\Delta$)- t_o 0 ($R+\Delta$)- t_o 1 ($R+\Delta$)- t_o 2 ($R+\Delta$)- t_o 3 ($R+\Delta$)- t_o 4 ($R+\Delta$)- t_o 6 ($R+\Delta$)- t_o 6 ($R+\Delta$)- t_o 7 ($R+\Delta$)- t_o 7 ($R+\Delta$)- t_o 7 ($R+\Delta$)- t_o 8 ($R+\Delta$)- t_o 9 ($R+\Delta$)- t_o 9 ($R+\Delta$ 0)- t_o 9 ($R+\Delta$ 1)- t_o 9 ($R+\Delta$ 2)- t_o 9 ($R+\Delta$ 2)- t_o 9 ($R+\Delta$ 3)- t_o 9 ($R+\Delta$ 3)- t_o 9 ($R+\Delta$ 3)- t_o 9 ($R+\Delta$ 4)- t_o 9 ($R+\Delta$ 3)- t_o 9 ($R+\Delta$ 4)- t_o 9 ($R+\Delta$ 3)- t_o 9 ($R+\Delta$ 4)- t_o 9 ($R+\Delta$ 3)- t_o 9 ($R+\Delta$ 4)- t_o 9 (

$$\begin{split} &dt_{o} \ /dz = \Delta_{*}x * [(1/\ r) * (\ \partial/\partial r) (r * (\partial t_{o}/\partial r))] + o((\Delta/R)^{2}) \quad \text{или} \\ &dt_{o} \ /dt = (dt_{o} \ /dz) / \tau_{o} \approx (1 + \Delta/R) / (1 + \Delta/2R) * \lambda_{o} / (\rho_{o} * c_{o}) * [(1/\ r) * (\ \partial/\partial r) (r * (\partial t_{o}/\partial r))] \end{split} \tag{8}. \end{split}$$

Заметим, что при выводе выше мы использовали приближение тонкостенных проволок $\Delta/R<<1$, которое обратно условию в заголовке. Последнее, как оказывается, не имеет значения, т.к. и в противоположном предельном случае $R/\Delta ->0$ полученные результаты остаются верными. В этом предельном случае коэффициенты (2) приобретают следующий вид: a->0, b>>1, а первое и второе уравнения системы преобразуются к виду $dt_o/dz=1-t_o$, $t_{ca}=t_o$. Решение первого из этих уравнений с начальным условием t_o (0)= T_o/T_p есть $t_o=1-(1-T_o/T_p)^* \exp(-t/\tau_o)$. Откуда время плавления стержня радиуса Δ оказывается в соответствии с этой формулой $t_{nлав}=\tau_o*ln((T_p-T_o)/(T_p-T_{nлa}))=\Delta_*x_*(1+\Delta/2R)/(1+\Delta/R)_*\rho_o*c_o/\lambda_o*ln[(T_p-T_o)/(T_p-T_{nл})]$. Перейдем в этой формуле к пределу $R/\Delta ->0$. Получим, $t_{nлав}=\rho_o*c_o/(2\lambda_o)_*\Delta^2*ln((T_p-T_o)/(T_p-T_{nn}))$ (х выбрали равным Δ). С другой стороны

правильное уравнение теплопроводности (8) в этом пределе есть $dt_o / d(2*t) = \partial t_o / \partial t = (\lambda_o / \rho_o * c_o *) *[(1/r)*(\partial/\partial r)(r*(\partial t_o / \partial r))],$ что говорит о том, что время, полученное из решения системы дифференциальных уравнений (2), надо умножить на 2, чтобы получить верный результат, следующий из уравнения теплопроводности (т.е. $d(2*t) = \partial t$). С помощью данного математического трюка, удается восстановить правильный результат даваемый выведенной формулой, хотя формальное условие такого вывода $\Delta / R <<1$, являются нарушенным. Откуда:

$$t_{n,n} = 2t_{*n,n} = \rho_{o} * c_{o} / \lambda_{o} * \Delta^{2} * \ln((T_{p} - T_{o}) / (T_{p} - T_{n,n}))$$
(9).

Эта формула с точностью до коэффициента совпадает с ранее полученной формулой (ба). В таблице 3 по (9) рассчитано время плавления алюминиевой катанки и стального круглого сечения стержня одинаковых сечений (радиусы 6,8мм). Видно, что время плавления стального стержня примерно в 10 раз больше. При этом время плавления катанки, рассчитанное по (9) без учета намороженного слоя практически точно совпадает со временем плавления, рассчитанным при одинаковых исходных данных в [4] и равным 0,31 сек, с применением сложного программного комплекса численного решения уравнения теплопроводности. Компьютерная программа основанная на решении уравнений (1)-(3) выше дала для данного времени значение 0,32 сек (т.е. отклонение от результата работы [4] около +3,2%) при расчете без учета намороженного слоя и 0,41 сек при его учете.

7. Общее решение системы уравнений (2)-(3). В принципе можно построить явные формулы решения общей системы уравнений(2)-(3). Они получаются громоздкими и потому представляют мало практического интереса. Проше построить прямое численное решение этой системы. В данной работе для этого использовалась неявная схема предиктор –корректор 2-го порядка аппроксимации по времени, которая, как известно, обладает устойчивостью в счете по отношению к ошибкам округления, что очень важно при вычислении быстро растущих функций типа экспоненты [2]. Система алгебраических уравнений (3) решалась следующим образом. В первую очередь вычислялись α и β из четвертого и пятого уравнений в (3), используя рассчитанные константы D, Ω . Для определения z_0 первое уравнение (3) преобразовывалось к следующему виду:

$$z_o = 2*\omega_o/(\beta*(\omega_o+\omega_s))*(1-t_o(z_o))$$
, где для $t_o(z)$ использовалась формула (5).

Попытки решить это уравнение методом простых итераций окончились безрезультатно, т.к. в части случаев процесс расходился. А вот решение этого уравнение итерационным процессом по Ньютону практически за 5-6 итераций обеспечивало сходимость до 6-8 значащих цифр и всегда приводило к ответу. Результаты расчетов и их сравнение с опытными данными приведены в Таблице 4.

Если расчет представлен в переменных $D_*\Delta_*v_{ont}$ от скорости инжекции проволоки V, то характер кривой в выбранных переменных как и для случая пустотелой оболочки в среднем близок к слабо меняющейся величине. Но имеются значительные отличия, которые проявляются в 2-х сильных выбросах от средней кривой. Для большой наглядности данные сведены в таблицу 4 для различных толщин и диаметров применяемых пп (указаны в первом столбце таблицы).

Таблица4.

Dmm/∆m m	Запо лнен ие, г/м	Δ/R	Δ/(R+Δ)	$ au_{ m o}$, сек	z=t _{nn} /τ _o	t _{пл} , сек	V _{опт} , м/мин	V ^э опт , М/МИН	(v _{опт} -v ^э _{опт})/v ^э _{опт} , %
9,8/1,5	54	0,306	0,23	0,71	3,94	2,79	97,95	90-110	- 3
10/1,2	66	0,24	0,19	0,59	4,25	2,50	108,04	111-125	-8
13/1,2	128	0,184	0,16	0,61	4,63	2,83	95,54	105	-9
11,6/1,0	102	0,172	0,15	0,51	4,99	2,54	106,19	100-105	+4
10/1,0	70	0,2	0,17	0,50	4,59	2,30	117,41	110	+7
9,6/0,8	72	0,166	0,14	0,41	4,99	2,04	132,48	135-155	-9
11,6/0,8	110	0,138	0,12	0,42	5,66	2,35	115,04	105-110	+7

В таблице 4 приведены также следующие расчетные величины: au_0 в секундах; безразмерное время до плавления оболочки- z; оптимальная расчетная скорость инжекции (для ковшей объемом 350тн с H=4,5м)- v_{ont}; измеренный экспериментально диапазон, в котором лежит оптимальная скорость инжекции- $v^{\mathfrak{d}}$ опт и разность последних двух величин выраженная в %(причем, если указан измеренный диапазон для оптимальной скорости, то для вычислений значений последнего столбца использовалась средняя арифметическая величина взятая для данного диапазона). Как видно из таблицы 4, в целом совпадение имеется (т.е. отклонения в расчетах не превышают инженерную погрешность 15%). Однако, есть отличие в экспериментах с проволокой 14х0,5мм замковой конструкции, (такие проволоки на практике вводятся обычно со скоростями 200-350 м/мин), которое выделается из общей массы. Вероятной причиной расхождения может быть преждевременное раскрытие замка таких проволок (в силу огромного внутреннего давления в случае с кальцием на оболочку при разогреве наполнителя) ранее момента расплавления оболочки, что не учтено в наших расчетах. Также отличие наблюдается с работой [3], где принята оптимальная скорость равная 140 м/мин для проволоки Hi-Cal (производство Injection Alloys Group) с толщиной стенки 1,1мм и внешним диаметром 9,8мм. Возможно нужна дополнительная проверка корректности этих данных.

Отметим также еще один момент. Представленная модель учитывает эффект образования вокруг вводимой в расплав порошковой проволоки отвердевшего (закристаллизованного) слоя металла, который существует все время введения проволоки в расплав. Такой слой располагается на фиксированной глубине в расплаве и в системе координат связанной с проволокой движется вдоль нее с постоянной скоростью, сохраняя устойчивость формы. Устойчивость его формы, как следует из результатов данной работы, связана с нелинейностью связи между скоростью нагрева слоя и скоростью роста его радиуса (см. четвертое уравнение в системе (1)-(2)). Такие устойчивые образования в математике принято называть солитонами (по аналогии с решениеми уравнения Кортевега де Фриза об уединенных волнах). Вероятно, указанный слой также можно отнести к категории подобных явлений (на данный факт впервые обратил внимание авторов Шагов О.Б.). Разумеется уравнения, описывающие данный слой, отличаются от уравнений для других

подобных явлений. Для данной задачи они являются уникальными. Однако то, что их роднит с подобными задачами, это наличие нелинейности, которая приводит к устойчивости образования их формы во времени.

8 Заключение.

- 1. Предложен полуэмпирический метод расчета динамики нагрева и плавления тонкостенных порошковых проволок с различными наполнителями.
- 2. Найден набор эмпирических параметров метода, который обеспечил точность расчетов оптимальной скорости ввода проволок с отклонением не более +/-15% для случая различных, применяемых промышленностью дизайнов кальций содержащих проволок типа Hi-Cal из [1] при их сравнении с измерениями на ковшах емкостью 350тн (последний столбец Таблица 4).
- 3. Впервые предложена наглядная аналитическая модель, которая описывает устойчивое отвердевшее образование закристаллизованного металла вокруг порошковой проволоки, наличием нелинейности, что позволяет отнести данное устойчивое образование к категории таких понятий как солитон (т.е. уединенная движущаяся вдоль проволоки структура).

Список литературы.

- 1. V.Steckly Патент на проволоки Hi-Cal
- 2. Н.Н. Калиткин. Численные методы. Наука, 1975
- 3. Fernando V.Guzman Optimization of injection treatment with High Purity Ca and High Compacted CaSi30/70 in Low Carbon Al-Killed and Al/Si-killed steels. IA Mexico S.A. de C.V.
- 4. 4. Edgar-Ivan Castro (Affival SAS) and other participants of the conference on processing and casting of liquid metals 2017 A Thermal Model of Cored Wire Injection.
- 5. S.Saedodin, M.S.M. Barforum, An accurate solution for thermal analysis of a cylindrical object using a hyperbolic thermal conductivity model. Thermophysics and Aeromechanics 2017, vol. 24, No.6, p. 937, Russia.
- 6. M.Necati and others, Finite Difference Methods in Heat Transfer, 2-nd Edition, CRC-Press, Tayler&Francis Group.
- 7. И.И.Данилюк. О задаче Стефана. УМН, 1985г., т40, выпуск5 стр140 (формула (1.17)).